

Письма в ЖТФ, том 16, вып. 8

26 апреля 1990 г.

01; 03

© 1990

ВЛИЯНИЕ СКОРОСТИ ГАЗОДИНАМИЧЕСКИХ ПРОЦЕССОВ НА ХАРАКТЕРИСТИКИ ГОМОГЕННОЙ НУКЛЕАЦИИ

Ю.Е. Горбачев, В.Ю. Круглов

Анализ большого числа экспериментальных данных указывает на то, что при больших скоростях изменения пересыщения (процессы в свободных струях и эффективных теплообменниках) отличие скорости зародышеобразования от его значения, даваемого классической теорией [1], может достигать 8–9 порядков. Это приводит к необходимости дальнейшего развития теории нуклеации.

Все количественные выводы классической теории нуклеации основываются на возможности получения оценки для вероятности флюктуаций, выводящей систему из равновесия [2]. При этом предполагается постоянство температуры и давления. Для описания нуклеации в реальных процессах эти условия ослабляются, заменяясь предположением о квазистационарности этих величин. На языке асимптотического анализа это означает введение быстрых и медленных переменных, однако никаких критериев медленности не предполагается. Проведенные оценки показывают, что кластеры большего размера растут с меньшей скоростью. При этом существует размер для кластеров, больше которого скорость их роста оказывается более медленной переменной, чем газодинамические параметры, в том числе и пересыщение. Таким образом, всегда найдутся такие размеры, для которых предположение классической теории о квазистационарности не выполняется. Для анализа этой ситуации естественно ввести размер g_5 , разделяющий кластеры по размерам на „быстро” и „медленно” растущие, и именно ему (а не критическому размеру g_*) придать смысл границы между конденсированной фазой и паром.

Для построения количественной теории воспользуемся квазихимической моделью конденсации [1]:

$$\dot{n}_g = -I_g - \sum_{g=1}^{\infty} I_g g,$$

$$\dot{n}_g = I_g - I_{g+1}, \quad I_g = -k_g^- n_g + k_g^+ n_{g-1} n_1, \quad g=2 \dots \infty,$$

где n_g — концентрации g -меров, I_g — ток в пространстве размёров, k_g^+ — константа скорости образования g -мера при присоединении мономера к $(g-1)$ -меру, k_g^- — константа мономолекулярного распада g -мера (обратной реакции).

Величина n_1 , определяющая пересыщение S в системе ($S = n_1/n_g^e$, где n_g^e — плотность на кривой равновесия при тех же значениях давления и температуры), на этапе нуклеации является медленной переменной. Чтобы выделить переменные, меняющиеся быстрее и медленнее S , перейдем в системе (1) к переменным

$$\psi_g = n_g / n_g^{st} :$$

$$\begin{aligned} \dot{\psi}_g &= -\frac{\dot{n}_g^{st}}{n_g^{st}} \psi_g + k_g^+ n_1 \frac{n_{g-1}^e}{n_g^e} \left[\frac{\tilde{n}_{g-1}^{st}}{\tilde{n}_g^{st}} \psi_{g-1} - \psi_g \right] - k_{g+1}^+ n_1 \left[\psi_g - \right. \\ &\quad \left. - \frac{\tilde{n}_{g+1}^{st}}{\tilde{n}_g^{st}} \psi_{g+1} \right]; \quad \tilde{n}_g = n_g / n_g^e; \end{aligned} \quad (2)$$

$$n_g^e = n_1 \exp(g \ln S - \theta g^{2/3}); \quad \theta = \frac{4 \pi r_1^2 \sigma}{kT}; \quad (3)$$

$$\tilde{n}_g^{st} = 1 - I \cdot J_{g-1}; \quad I = (1 - \tilde{n}_{g_s+1}) J_{g_s}^{-1}; \quad J_g = \sum_{j=1}^g (k_{j+1}^+ n_j^e n_1). \quad (4)$$

Здесь использовалась связь $k_g = k_g^o k_g^+$. Для быстрых переменных с $2 \leq g \leq g_s$ константа равновесия $k_g^{oe} = n_{g-1}^e n_1 / n_g^e$, а для медленных с $g > g_s$ $k_g^{oe} = n_{g-1}^e n_1 / n_g^{st}$, где n_g^{st} — суть распределение в условиях полного равновесия, т.е. с $S = 1$ (см. (3) при $S = 1, n_1 \rightarrow n_g^e$). Легко проверить, что $k_g^o = k_g^{oe}$.

Таким образом, для концентраций, являющихся быстрыми переменными, устанавливается квазистационарное распределение n_g^{st} , определяемое условием $I = \text{const} \neq 0$, а медленные релаксируют к полному равновесию n_g^{st} . Заметим, что для замыкания определения квазистационарного распределения обычно пользуются соотношением $\tilde{n}_{g_s+1} \ll 1$, что может быть оправдано лишь при $g_s > g_*$, когда n_g начинает быстро возрастать с ростом g .

Используя явный вид n_g^e и n_g^{st} и считая $g \gg 1$, можно получить $n_g^{st} / n_g^e \approx S^{(g_s/g)^{1/3}-1}$; $n_{g-1}^{st} / n_g^{st} \approx n_{g-1}^e / n_g^e$

при $g < g_*$, и $n_{g-1}^{st} / n_g^{st} = 0$ (1) при $g > g_*$, где $g_* = \frac{2}{3} \left(\frac{\theta}{\ln S} \right)^3$. Заме-

тим, что количественные выводы можно делать только при $g_* \gg 1$, поскольку только в этом случае имеет смысл выражение для свободной энергии кластера, используемое при записи (3) [3]. Для $g = g_s$ получим

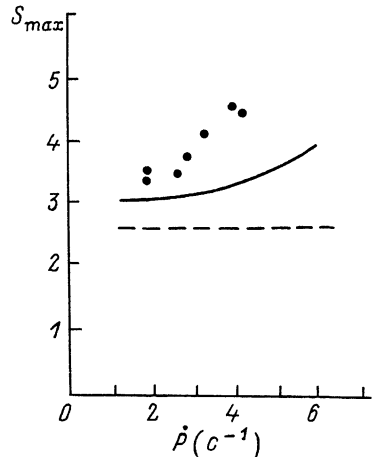


Рис. 1.

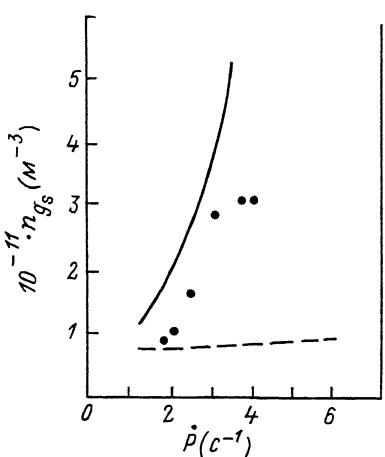


Рис. 2.

$$\frac{\dot{n}_g^{st}}{n_g^{st}} = \frac{\dot{n}_1}{n_1} + g_s \frac{\dot{S}}{S} - \theta g_s^{2/3}. \quad (5)$$

Из способа введения S следует, что для достаточно больших g_s первым слагаемым в (5) можно пренебречь.

Из вида системы (2) можно предложить следующие оценки для характерных времен гидродинамической τ_h и кинетической τ_k релаксации:

$$\tau_h^{-1} = \dot{n}_g^{st} / n_g^{st}, \quad \tau_k^{-1} = n_1 k_g^+ (n_{g-1}^e / n_g^e + 1). \quad (6)$$

Представление для τ_k^{-1} получено в виде интерполяционной формулы, "сшивающей" два предельных случая $g \ll g_*$ и $g \gg g_*$, когда (при S достаточно больших) коэффициенты при ψ_{g-1} в (2) много больше или соответственно много меньше коэффициентов при ψ_g . В обоих этих случаях соответствующая матрица коэффициентов близка к двухдиагональной, а поскольку рассматриваемый предельный переход не приводит к вырождению матрицы, то ее собственные числа близки к ее диагональным элементам.

Оценим теперь входящий в теорию параметр g_s как величину, при которой $\tau_h(g_s) \sim \tau_k(g_s)$. Для простой модели констант $k_g^+ = \alpha g_s^{2/3}$, используя оценки, приведенные перед (5), получим уравнение

$$g_s \frac{\dot{S}}{S} - \theta g_s^{2/3} = n_1 \alpha g_s^{2/3} (S^{(g_*/g_s)^{1/3}-1} + 1), \quad (7)$$

приближенное решение которого имеет вид

$$g_s = \begin{cases} \left(\frac{n_{\alpha}(S+1) + \dot{\theta}S}{\dot{S}} \right)^3 & \text{при } g_s > g_* \\ g_* \left(\frac{\ln((g_*^{1/3}\dot{S} - S\dot{\theta})/n_{\alpha}\alpha - 1)}{\ln S} \right) & \text{при } g_s < g_* \end{cases}$$

Для большинства реальных процессов величина $\dot{\theta}$ достаточно мала и эти формулы несколько упрощаются.

Выражение для тока зародышеобразования I , приведенное в (4), совпадает с классическим лишь при $g_s > g_*$, однако при $g_s < g_*$ (что имеет место при высоких скоростях изменения пересыщения) оно становится существенно больше классического. Другим важным результатом является то, что размер зародыша, определяемый g_s , может существенно отличаться от своего стационарного значения g_* .

Полученные оценки использовались для сравнения с экспериментальными данными.

На рис. 1 приведена зависимость максимального пересыщения S_{max} , как функция скорости изменения давления в системе $\dot{P} = -\frac{1}{\rho} \frac{d\rho}{dt}$, где ρ – давление, а на рис. 2 – значение концентрации кластеров максимального размера, как функция того же параметра (точки – экспериментальные данные [4], пунктир – результат расчета [2] по классической теории, сплошные кривые – расчеты по предлагаемой теории).

Сравнения с данными экспериментов подтверждают наши представления о процессе нуклеации и свидетельствуют о сильном влиянии скорости изменения газодинамических параметров на нуклеацию.

С п и с о к л и т е р а т у р ы

- [1] A b r a h a m F.F. Homogeneous nucleation floous. New York; London: Acad. Press, 1974.
- [2] Ландау Л.Д., Лифшиц Е.М. Теоретическая физика. Т. У. Статистическая физика. М.: Наука, 1976. 584 с.
- [3] П е т р о в Ю.И. Кластеры и малые частицы. М.: Наука, 1986. 383 с.
- [4] S h a r a f M.A., D o b b i n s R.A. // J. Chem. Phys. 1982. V. 77. N 3. P. 1517–1527.

Физико-технический
институт им. А.Ф. Иоффе
АН СССР, Ленинград

Поступило в Редакцию
29 декабря 1989 г.